

Starkniederschlagshöhen und -spenden gemäß KOSTRA-DWD-2020

Rasterfeld 165121

(Zeile 165, Spalte 121)

Regenspende und Bemessungsniederschlagswerte in Abhängigkeit von Wiederkehrzeit T und Dauerstufe D

| Dauerstufe D | | Wiederkehrzeit T | | | | | | | | | | | | | | | | | |
|--------------|-----|------------------|------------|------|------------|------|------------|------|------------|------|------------|------|------------|------|------------|------|------------|-------|------------|
| | | 1 a | | 2 a | | 3 a | | 5 a | | 10 a | | 20 a | | 30 a | | 50 a | | 100 a | |
| min | Std | mm | l / (s ha) | mm | l / (s ha) | mm | l / (s ha) | mm | l / (s ha) | mm | l / (s ha) | mm | l / (s ha) | mm | l / (s ha) | mm | l / (s ha) | mm | l / (s ha) |
| 5 | | 8,2 | 273,3 | 10,0 | 333,3 | 11,2 | 373,3 | 12,8 | 426,7 | 15,0 | 500,0 | 17,2 | 573,3 | 18,7 | 623,3 | 20,7 | 690,0 | 23,5 | 783,3 |
| 10 | | 10,3 | 171,7 | 12,7 | 211,7 | 14,2 | 236,7 | 16,1 | 268,3 | 18,9 | 315,0 | 21,8 | 363,3 | 23,7 | 395,0 | 26,2 | 436,7 | 29,8 | 496,7 |
| 15 | | 11,6 | 128,9 | 14,2 | 157,8 | 15,9 | 176,7 | 18,1 | 201,1 | 21,2 | 235,6 | 24,4 | 271,1 | 26,5 | 294,4 | 29,3 | 325,6 | 33,3 | 370,0 |
| 20 | | 12,4 | 103,3 | 15,3 | 127,5 | 17,1 | 142,5 | 19,4 | 161,7 | 22,8 | 190,0 | 26,2 | 218,3 | 28,5 | 237,5 | 31,5 | 262,5 | 35,8 | 298,3 |
| 30 | | 13,6 | 75,6 | 16,8 | 93,3 | 18,7 | 103,9 | 21,3 | 118,3 | 25,0 | 138,9 | 28,8 | 160,0 | 31,3 | 173,9 | 34,5 | 191,7 | 39,2 | 217,8 |
| 45 | | 14,8 | 54,8 | 18,2 | 67,4 | 20,4 | 75,6 | 23,2 | 85,9 | 27,2 | 100,7 | 31,3 | 115,9 | 34,0 | 125,9 | 37,6 | 139,3 | 42,7 | 158,1 |
| 60 | 1 | 15,7 | 43,6 | 19,3 | 53,6 | 21,6 | 60,0 | 24,5 | 68,1 | 28,8 | 80,0 | 33,2 | 92,2 | 36,0 | 100,0 | 39,8 | 110,6 | 45,2 | 125,6 |
| 90 | 1,5 | 16,9 | 31,3 | 20,9 | 38,7 | 23,3 | 43,1 | 26,5 | 49,1 | 31,1 | 57,6 | 35,8 | 66,3 | 38,9 | 72,0 | 43,0 | 79,6 | 48,8 | 90,4 |
| 120 | 2 | 17,9 | 24,9 | 22,0 | 30,6 | 24,6 | 34,2 | 27,9 | 38,8 | 32,8 | 45,6 | 37,8 | 52,5 | 41,0 | 56,9 | 45,3 | 62,9 | 51,5 | 71,5 |
| 180 | 3 | 19,2 | 17,8 | 23,7 | 21,9 | 26,4 | 24,4 | 30,0 | 27,8 | 35,2 | 32,6 | 40,6 | 37,6 | 44,1 | 40,8 | 48,8 | 45,2 | 55,4 | 51,3 |
| 240 | 4 | 20,2 | 14,0 | 24,9 | 17,3 | 27,8 | 19,3 | 31,6 | 21,9 | 37,1 | 25,8 | 42,7 | 29,7 | 46,5 | 32,3 | 51,3 | 35,6 | 58,3 | 40,5 |
| 360 | 6 | 21,7 | 10,0 | 26,7 | 12,4 | 29,8 | 13,8 | 33,9 | 15,7 | 39,8 | 18,4 | 45,9 | 21,3 | 49,9 | 23,1 | 55,1 | 25,5 | 62,6 | 29,0 |
| 540 | 9 | 23,3 | 7,2 | 28,7 | 8,9 | 32,0 | 9,9 | 36,4 | 11,2 | 42,7 | 13,2 | 49,2 | 15,2 | 53,5 | 16,5 | 59,1 | 18,2 | 67,1 | 20,7 |
| 720 | 12 | 24,5 | 5,7 | 30,1 | 7,0 | 33,7 | 7,8 | 38,3 | 8,9 | 44,9 | 10,4 | 51,8 | 12,0 | 56,2 | 13,0 | 62,1 | 14,4 | 70,5 | 16,3 |
| 1080 | 18 | 26,2 | 4,0 | 32,3 | 5,0 | 36,1 | 5,6 | 41,0 | 6,3 | 48,1 | 7,4 | 55,5 | 8,6 | 60,3 | 9,3 | 66,6 | 10,3 | 75,6 | 11,7 |
| 1440 | 24 | 27,6 | 3,2 | 34,0 | 3,9 | 37,9 | 4,4 | 43,1 | 5,0 | 50,6 | 5,9 | 58,3 | 6,7 | 63,3 | 7,3 | 70,0 | 8,1 | 79,4 | 9,2 |
| 2880 | 48 | 31,0 | 1,8 | 38,2 | 2,2 | 42,7 | 2,5 | 48,5 | 2,8 | 56,9 | 3,3 | 65,6 | 3,8 | 71,3 | 4,1 | 78,8 | 4,6 | 89,4 | 5,2 |
| 4320 | 72 | 33,3 | 1,3 | 41,0 | 1,6 | 45,7 | 1,8 | 52,0 | 2,0 | 61,0 | 2,4 | 70,3 | 2,7 | 76,4 | 2,9 | 84,4 | 3,3 | 95,8 | 3,7 |
| 5760 | 96 | 34,9 | 1,0 | 43,0 | 1,2 | 48,0 | 1,4 | 54,6 | 1,6 | 64,1 | 1,9 | 73,9 | 2,1 | 80,3 | 2,3 | 88,6 | 2,6 | 100,7 | 2,9 |
| 7200 | 120 | 36,3 | 0,8 | 44,7 | 1,0 | 49,9 | 1,2 | 56,7 | 1,3 | 66,6 | 1,5 | 76,7 | 1,8 | 83,4 | 1,9 | 92,1 | 2,1 | 104,6 | 2,4 |
| 8640 | 144 | 37,4 | 0,7 | 46,1 | 0,9 | 51,5 | 1,0 | 58,5 | 1,1 | 68,7 | 1,3 | 79,1 | 1,5 | 86,0 | 1,7 | 95,0 | 1,8 | 107,9 | 2,1 |
| 10080 | 168 | 38,4 | 0,6 | 47,3 | 0,8 | 52,8 | 0,9 | 60,1 | 1,0 | 70,5 | 1,2 | 81,3 | 1,3 | 88,3 | 1,5 | 97,5 | 1,6 | 110,7 | 1,8 |

Starkniederschlagshöhen und -spenden gemäß KOSTRA-DWD-2020

Rasterfeld 165121

(Zeile 165, Spalte 121)

Örtliche Unsicherheiten in Abhängigkeit von Wiederkehrzeit T und Dauerstufe D

| Dauerstufe D | | Wiederkehrzeit T | | | | | | | | |
|--------------|-----|------------------|-----|-----|-----|------|------|------|------|-------|
| | | 1 a | 2 a | 3 a | 5 a | 10 a | 20 a | 30 a | 50 a | 100 a |
| min | Std | ± % | ± % | ± % | ± % | ± % | ± % | ± % | ± % | ± % |
| 5 | | 10 | 10 | 10 | 10 | 11 | 11 | 11 | 11 | 12 |
| 10 | | 10 | 12 | 12 | 13 | 14 | 15 | 15 | 16 | 16 |
| 15 | | 13 | 14 | 15 | 16 | 17 | 18 | 18 | 19 | 19 |
| 20 | | 14 | 16 | 17 | 18 | 19 | 20 | 20 | 20 | 21 |
| 30 | | 16 | 18 | 18 | 19 | 20 | 21 | 22 | 22 | 23 |
| 45 | | 17 | 19 | 20 | 21 | 22 | 23 | 23 | 23 | 24 |
| 60 | 1 | 17 | 19 | 20 | 21 | 22 | 23 | 23 | 24 | 24 |
| 90 | 1,5 | 17 | 19 | 20 | 21 | 22 | 23 | 23 | 24 | 24 |
| 120 | 2 | 17 | 19 | 20 | 21 | 22 | 23 | 23 | 24 | 24 |
| 180 | 3 | 16 | 18 | 19 | 20 | 21 | 22 | 23 | 23 | 24 |
| 240 | 4 | 16 | 18 | 19 | 20 | 21 | 22 | 22 | 23 | 23 |
| 360 | 6 | 15 | 17 | 18 | 19 | 20 | 21 | 21 | 22 | 22 |
| 540 | 9 | 14 | 16 | 17 | 18 | 19 | 20 | 20 | 21 | 21 |
| 720 | 12 | 14 | 15 | 16 | 17 | 18 | 19 | 20 | 20 | 21 |
| 1080 | 18 | 13 | 15 | 15 | 16 | 17 | 18 | 19 | 19 | 20 |
| 1440 | 24 | 13 | 14 | 15 | 16 | 17 | 18 | 18 | 18 | 19 |
| 2880 | 48 | 12 | 13 | 14 | 15 | 16 | 16 | 17 | 17 | 18 |
| 4320 | 72 | 12 | 13 | 13 | 14 | 15 | 16 | 16 | 17 | 17 |
| 5760 | 96 | 12 | 13 | 13 | 14 | 15 | 15 | 16 | 16 | 17 |
| 7200 | 120 | 12 | 13 | 13 | 14 | 14 | 15 | 15 | 16 | 16 |
| 8640 | 144 | 12 | 13 | 13 | 14 | 14 | 15 | 15 | 16 | 16 |
| 10080 | 168 | 12 | 13 | 13 | 14 | 14 | 15 | 15 | 16 | 16 |

Parameter für abweichende T und D

Lokationsparameter ξ (Xi)

16,08165665

Skalenparameter α (Alpha)

5,17356801

Formparameter κ (Kappa)

-0,1

1. Koutsoyiannis-Parameter θ (Theta)

0,02997412

2. Koutsoyiannis-Parameter η (Eta)

0,82980256

Parameter für dauerstufenübergreifende Extremwertschätzung nach KOUTSOYIANNIS et al. 1998.

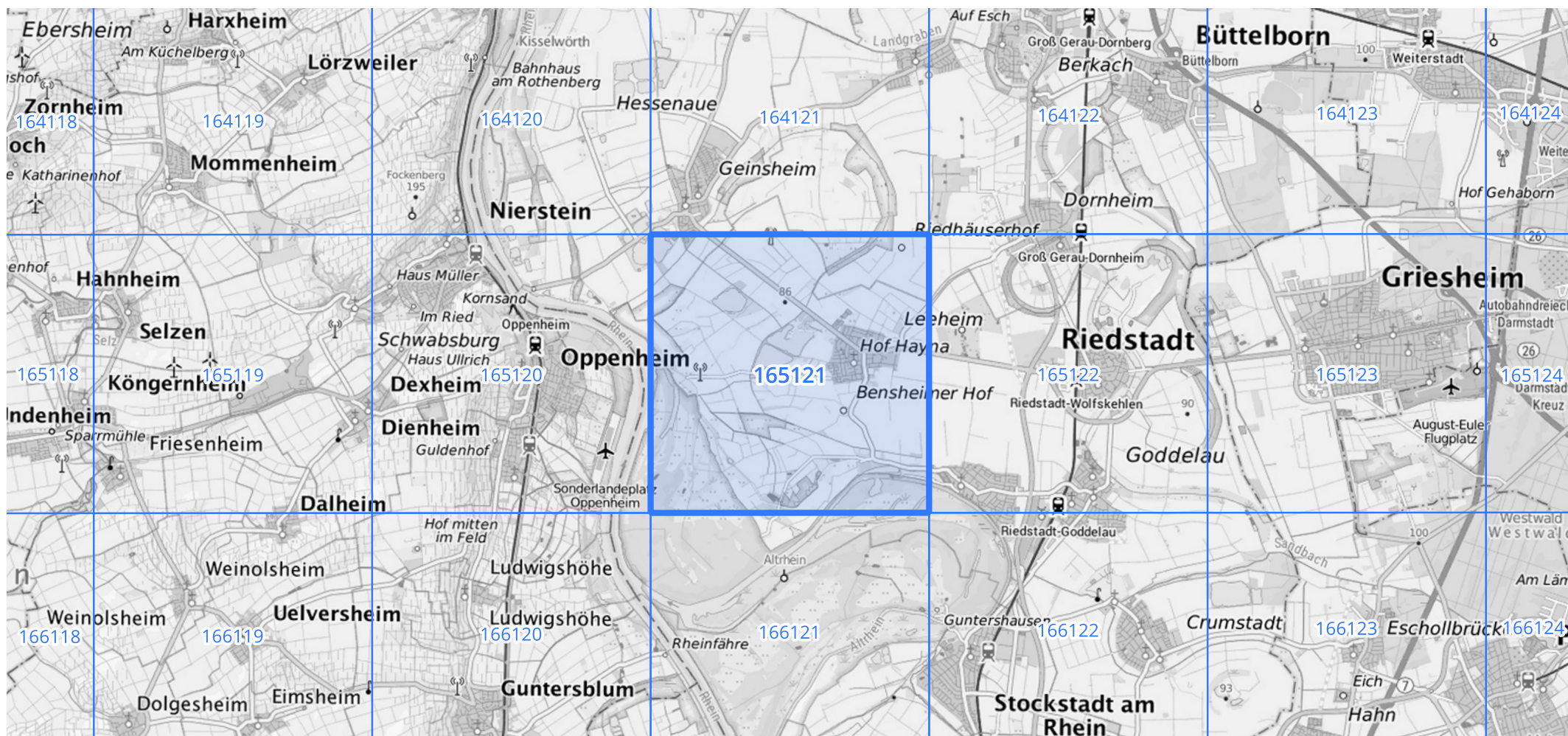
Siehe auch Anwendungshilfe zu KOSTRA-DWD-2020 des Deutschen Wetterdienstes.

Starkniederschlagshöhen und -spenden gemäß KOSTRA-DWD-2020

Rasterfeld 165121

(Zeile 165, Spalte 121)

Übersichtskarte des Rasterfeldes 165121, M 1 : 100 000



Quelle Rasterdaten: KOSTRA-DWD-2020 des Deutschen Wetterdienstes, Stand 12/2022.

Seite 3 von 3

Kartendarstellung: © Bundesamt für Kartographie und Geodäsie (2023), Datenquellen: https://sgx.geodatenzentrum.de/web_public/gdz/datenquellen/Datenquellen_TopPlusOpen.html

Für die Richtigkeit und Aktualität der Angaben wird keine Gewähr übernommen. Erstellt 01/2023.